

# کاهش عدم قطعیت زمان و هزینه‌ی پروژه‌های تونل‌سازی با به‌کارگیری روش DAT مطالعه‌ی موردي: تونل راه همرو

ارسان م Hammondزاده (دانشجوی کارشناسی ارشد)

شکرالله زارع<sup>\*</sup> (دانشیار)

رحمان دارای (دانشجوی دکتری)

دانشکده‌ی هندسی معدن، نفت و نوآفریان، دانشگاه شهرورد

کاهش عدم قطعیت‌های قبل از شروع به ساخت تونل‌ها، به خصوص عدم قطعیت در مورد زمان و هزینه‌ی نهایی ساخت تونل، می‌تواند در مراحل اولیه‌ی برنامه‌ریزی‌ها مفید واقع شود و ریسک تصمیم‌گیری‌ها را تا حد قابل قبولی کاهش دهد. DAT ابزاری آماری است که به پیش‌بینی احتمالاتی زمان و هزینه‌ی موردنیاز اجرای تونل قبل از شروع به ساخت تونل در نوشتار حاضر، به کمک روش DAT با به‌کارگیری داده‌های قبل از شروع به ساخت تونل همرو، زمان و هزینه‌ی ساخت کل تونل مذکور به صورت احتمالاتی پیش‌بینی شده است. سپس زمان و هزینه‌ی به دست آمده به کمک روش DAT با زمان و هزینه‌ی واقعی اجرای تونل همرو به منظور اعتبارسنجی روش ذکر شده و کاهش عدم قطعیت در مورد به‌کارگیری آن در پروژه‌های آتی مقایسه و در نهایت مشخص شده است که نتایج به دست آمده از روش DAT شباهت زیادی با نتایج واقعی دارد و این مسئله، اعتبار روش DAT را جهت کاهش عدم قطعیت‌های زمان و هزینه‌ی نهایی ساخت در پروژه‌های آتی اثبات می‌کند.

وازگان کلیدی: DAT، عدم قطعیت زمان و هزینه، مدل زمین‌شناسی، مدل ساخت، تونل همرو.

## ۱. مقدمه

تا اینکه یک مدل با عنوان مدل متابع به مدل‌های آن اضافه شد.<sup>[۱]</sup> سپس روشی برای ارزیابی فناوری تونل زنی تمام‌قطع به روش DAT ارائه شده است.<sup>[۲]</sup> بعد از آن مدل DAT به‌گونه‌ی توسعه یافته است که بتواند در هنگام ساخت و در صورت دست‌یابی به داده‌های جدید و واقعی تر نسبت به داده‌های اولیه، مدل را به روزرسانی کند و عدم قطعیت‌ها را در مورد زمان و هزینه‌ی نهایی ساخت تونل نسبت به مدل قبلی کاهش دهد.<sup>[۳]</sup>

به منظور برآورده زمان و هزینه‌ی نهایی ساخت تونل، روش DAT در پروژه‌ی تونل‌های: سوچوون، وونهیو و کنمور شمالی استفاده شده است.<sup>[۴-۵]</sup>

جهت بررسی تأثیر به روزرسانی مدل DAT به کمک داده‌های زمین‌شناسی جدید و واقعی در زمان ساخت تونل (حفاری قسمتی از تونل)، ابتدا زمان و هزینه‌ی نهایی ساخت یک تونل را با به‌کارگیری داده‌های زمین‌شناسی اولیه به کمک روش DAT ارزیابی کرده و سپس با به روزرسانی داده‌های زمین‌شناسی در زمان ساخت تونل و به‌کارگیری آن‌ها در مدل مذکور، زمان و هزینه‌ی نهایی جدیدی برای ساخت تونل به دست آمده و در نهایت با هم مقایسه شده‌اند.<sup>[۶]</sup>

به منظور مدل‌سازی عدم قطعیت در پروژه‌ی خط زیرزمینی در شهر نیویورک و برآورده زمان و هزینه‌ی نهایی ساخت تونل‌های پروژه‌ی خط راه‌آهن پرتقال، روش

از جمله مباحث مهم جهت طراحی و برنامه‌ریزی پروژه‌ها، کمینه‌سازی عدم قطعیت‌های است. معمولاً عدم قطعیت‌ها در پروژه‌های زیرسطحی ناشی از شرایط ناشناخته‌ی زمین است، که باعث می‌شود در طراحی‌ها نتوان کل مسائلی را که ممکن است در زمان ساخت اتفاق بیفتد، در نظر گرفت. از مهم‌ترین عدم قطعیت‌ها می‌توان به عدم قطعیت در مورد زمان و هزینه‌ی نهایی پروژه اشاره کرد، زیرا آن‌ها در ارتباط با شناخت کامل شرایط زیرسطحی هستند. بنابراین در پروژه‌های زیرسطحی نمی‌توان زمان و هزینه‌ها را به صورت قطعی بیان کرد، بلکه باید از روش‌های احتمالاتی استفاده کرد.<sup>[۷]</sup>

به منظور برآورده عدم قطعیت‌ها به صورت احتمالاتی، ابزارهای (مدل‌های احتمالاتی) مختلفی ارائه شده است، که از آن جمله می‌توان به ابزار DAT<sup>[۸]</sup> اشاره کرد. برای اولین بار توسط اینشتین (۱۹۸۰) ارائه شده است و بعد از آن توسط گروه پروفسور اینشتین توسعه پیدا کرده و تا به امروز کارهای زیادی روی مدل DAT در پروژه‌های مختلف انجام شده است. ابزار DAT در ابتدا فقط شامل دو مدل ساخت و مدل زمین‌شناسی بوده است،

\* نویسنده مسئول

تاریخ: دریافت ۲۱/۷/۱۳۹۴، اصلاحیه ۱۰/۱۳۹۴، پذیرش ۲۶/۱۰/۱۳۹۴.

DAT استفاده شده است. [۹۸]

پیش‌بینی زمین‌شناسی با استفاده از داده‌های اولیه، نظری: نقشه‌های زمین‌شناسی، مطالعات زئوفیزیکی، مطالعات ژوتکنیکی و... به پیش‌بینی شرایط زمین‌شناسی مورد انتظار در طول مسیر تونل می‌پردازد. معمولاً شرایط مورد انتظار در طول تونل نمی‌تواند به صورت قطعی بیان شود و بنابراین باید از روش‌های آماری جهت بیان احتمالاتی شرایط ذکر شده استفاده کرد. یکی از مهم‌ترین روش‌های آماری، که به پیش‌بینی شرایط زمین‌شناسی می‌پردازد، مدل مارکوف<sup>۴</sup> است، که حالت مربوط به هر کدام از پارامترها را با توجه به حالت قبل از آن تخمین می‌زند.<sup>[۱۰]</sup> در ادامه، مراحل مختلف پیش‌بینی مدل زمین‌شناسی به ترتیب و به صورت مختصر آراه شده است:

— ارزیابی احتمال انتقال از حالت  $i$  به حالت  $j$  ( $p_{ij}$ ) و ضریب شدت انتقال حالت  $i$  پارامتر زمین‌شناسی موردنظر به کمک روش‌های آماری (رابطه‌ی ۱):<sup>[۱۰]</sup>

$$p_{ij} = \frac{T_{ij}}{\sum_{k=1}^n T_{ik}} \quad (1)$$

که در آن،  $p_{ij}$  احتمال انتقال از حالت  $i$  به حالت  $j$ :  $T_{ij}$  تعداد انتقال‌ها از حالت  $i$  به حالت  $j$ ;  $\sum_{k=1}^n T_{ik}$  مجموع انتقال‌ها از حالت  $i$  به سایر حالت‌های پارامتر مربوط ( $n$ ) تعداد کل حالت‌های پارامتر موردنظر) است.  $C_{x_i}$  ضریب شدت انتقال حالت  $i$  (در طول مسیر تونل) است.

— محاسبه‌ی ماتریس شدت انتقال پارامتر  $X$  ( $A_X$ ) به کمک احتمال انتقال و ضریب شدت انتقال مطابق رابطه‌ی ۲.

— محاسبه‌ی ماتریس احتمال انتقال فاصله. براساس فرایند مارکوف، احتمال وقوع یک حالت معین از پارامتر زمین‌شناسی  $X$  در موقعیت‌های بعدی می‌تواند محاسبه شود. با توجه به شکل ۱، در اینجا احتمال وقوع حالت  $j$  ( $p_{x_1, x_2, \dots, x_n, j}$ ) تعداد حالت‌های پارامتر  $X$  از پارامتر  $O_0$  در یک موقعیت معین ( $L$ ) نسبت به موقعیت اولیه ( $O_0$ ) به فاصله‌ی ( $L - O_0$ ) متناظر است. روش کار به همراه باید موقعیتی باشد که احتمال وقوع حالت‌های یک پارامتر معین در آن مشخص باشد تا فرایند مارکوف بتواند با استفاده از آن، احتمال‌های مذکور را در نقاط بعدی پیش‌بینی کند.<sup>[۱۰]</sup>

$$A_X = \begin{bmatrix} -C_{x_1} & C_{x_1 p_{x_1, 1}} & \dots & C_{x_1 p_{x_1, n}} \\ C_{x_2 p_{x_2, 1}} & -C_{x_2} & \dots & C_{x_2 p_{x_2, n}} \\ \vdots & \vdots & \ddots & \vdots \\ C_{x_n p_{x_n, 1}} & C_{x_n p_{x_n, 2}} & \dots & -C_{x_n} \end{bmatrix} \quad (2)$$

جهت محاسبه‌ی احتمال وقوع حالت‌های پارامتر  $X$  در یک سلوول به فاصله‌ی  $u$  نسبت به سلوول اولیه، ماتریسی به کاربرده می‌شود که ماتریس احتمال انتقال

سلول	$X(O_0)$			$X(L)$	
حالت	$i$			$j$	

شکل ۱. پیش‌بینی احتمال وقوع هر کدام از حالت‌های یک پارامتر ( $X$ ) در فاصله‌ی  $(L - O_0) = u$  نسبت به موقعیت ( $O_0$ )، که احتمال وقوع حالت‌های  $X$  در آن مشخص است (هر موقعیت با یک سلوول نمایش داده شده است).

از جمله جدیدترین کارهایی که در آن از روش DAT استفاده شده است، برآورده زمان و هزینه‌ی نهایی در حفاری چاه برای سیستم زمین گرمایی مهندسی EGS<sup>۲</sup> است.<sup>[۱۰]</sup>

ابزار کمک به تصمیم‌گیری DAT به پیش‌بینی زمان و هزینه‌ی نهایی ساخت تونل با استفاده از دو مدل زمین‌شناسی و مدل ساخت می‌پردازد. این ابزار در مدل زمین‌شناسی، مجموعه‌های مختلفی از شرایط زمین‌شناسی را در نظر گرفته و هر مجموعه شرایط را کلاس زمین می‌نامد، که شامل روش حفاری و سیستم نگهداری مخصوصی است. در مدل زمین‌شناسی، احتمال وقوع هر کدام از این کلاس‌های زمین با استفاده از روش مارکوف در هر موقعیتی در طول تونل به دست می‌آید. در مدل ساخت با اختصاص دادن زمان و هزینه به هر کدام از کلاس‌ها به کمک نظر افراد متخصص و تجربه‌ی پروژه‌های انجام شده قابلی در شرایط مشابه، زمان و هزینه‌ی مربوط به هر کلاس در هر موقعیتی در طول تونل با توجه به مدل زمین‌شناسی می‌تواند به دست آید. سپس می‌توان زمان و هزینه‌ی کل تونل را از مجموع زمان و هزینه‌ها در کلیه موقعیت‌ها در طول تونل به صورت احتمالاتی برآورد کرد.<sup>[۱۱]</sup>

مطالعه‌ی حاضر بر روی تونل همرو با طول ۱۳۱۰ متر و سطح مقطع ۹۷ مترمربع به عنوان بخشی از جاده‌ی جدید در دست احداث ستدج - مریوان صورت گرفته است. جهت برآورده زمان و هزینه، از داده‌های به دست آمده قبل از شروع به ساخت تونل استفاده شده و به منظور دست یابی به ماتریس‌های احتمال انتقال برای پارامترهای در نظر گرفته شده که در مدل مارکوف از آن‌ها استفاده می‌شود، کلاس‌های زمین متناسب با شرایط زمین‌شناسی اولیه و همچنین زمان و هزینه‌ی مربوط به اجرای هر متر از کلاس زمین موردنظر، پرسش‌نامه‌هایی تهیه و به کمک افراد با تجربه تکمیل شده‌اند. درنهایت از مجموع جواب‌های مربوط به پرسش‌نامه‌های مذکور، یک جواب نهایی به دست آمده و در روابط آماری استفاده شده است. روش کار به شیوه‌ی بوده است که در ابتدا، فاصله‌ی بین هر دو گمانه به بخش‌های مساوی (هر بخش به طول ۱۰ متر) تقسیم شده و در هر بخش، احتمال وقوع تمام کلاس‌های زمین در نظر گرفته شده با استفاده از روش مارکوف به دست آمده است. از آنجایی که هر کلاس زمین یک زمان و هزینه‌ی متفاوتی دارد، بنابراین احتمال وقوع زمان و هزینه‌های مختلف در داخل هر بخش نیز موجود است. سپس جهت دست یابی به زمان و هزینه‌ی نهایی ساخت تونل، با استفاده از روش شبیه‌سازی مونت‌کارلو در نرم‌افزار پرست متر<sup>۳</sup>، زمان و هزینه‌ی تمام بخش‌ها با هم جمع شده و درنهایت، زمان و هزینه‌های متفاوتی با سطح اطمینان‌های مشخصی به دست آمده است.

از آنجایی که در زمان انجام مطالعه‌ی حاضر، پروژه‌ی تونل همرو به اتمام رسیده بوده و به دلیل در اختیار داشتن داده‌های بعد از ساخت تونل انتی بالا، نتایج حاصل از روش DAT به کمک داده‌های بعد از ساخت تونل اعتبارسنجی شده است، تا بتوان در پروژه‌های آتی با عدم قطعیت کمتری این روش را جهت ارزیابی زمان و هزینه‌ی نهایی ساخت تونل به کار برد و ریسک تصمیم‌گیری را تا حد قابل قبولی کاهش داد.

## ۲. مدل زمین‌شناسی

شرایط زمین‌شناسی، یک عامل اصلی در انتخاب روش حفاری و نگهداری است. از آنجایی که داده‌های مربوط به شرایط زمین‌شناسی مسیر تونل بسیار و یا اصلاً موجود نیست، توصیف پیش‌بینی‌ها براساس عدم قطعیت خواهد بود. مدل

افراد کارشناس تونل سازی از طریق پرسش نامه استفاده شده است، که مشخصات مربوط به این افراد و نوع پرسش نامه ها در ادامه ارائه شده است.

برای تکمیل پرسش نامه ها از نظرات ۱۰ نفر کارشناس تونل سازی با در اختیار گذاشتن داده های اولیه ای موجود استفاده شده است. این افراد با تحقیقات کارشناسی ارشد به بالا در زمینه های مهندسی عمران، مهندسی مکانیک سنگ، و مهندسی زمین شناسی با تجربه دستکم ۵ سال پیمانکاری ساخت تونل های جاده بی بوده اند. پرسش نامه های تهیه شده حالت سوالی داشته اند. برای مثال به منظور دست یابی به ماتریس احتمال انتقال هر کدام از پارامترها، از افراد کارشناس سوال شده است که: «با چه احتمالی انتقال از هر حالت یک پارامتر به حالت دیگر همان پارامتر صورت می گیرد؟»

با برای دست یابی به کلاس های زمین سوال شده است:

«با توجه به تعداد شرایط زمین شناسی پیش بینی شده در مطالعه ای حاضر، چند کلاس زمین پیشنهاد می دهد که مجموعاً جواب گوی تمامی شرایط ذکر شده باشند؟ مشخصات کلاس های زمین را بیان کنید.» همچنین برای دست یابی به زمان و هزینه هی هر سیکل از اجرای تونل سوال شده است:

«به هر کدام از کلاس های زمین چه زمان و هزینه بی را برای هر سیکل از ساخت با توجه به داده های موجود در مورد تونل و تجربه پروژه های اجراسده هی قبای در شرایط مشابه پیشنهاد می دهید؟» بنابراین در هر مرحله، میانگین نظرات افراد کارشناس تونل سازی، که از طریق پرسش نامه به دست آمده است، به عنوان داده های ورودی استفاده شده است.

#### ۴. مدل زمین شناسی برای تونل همرو

از جمله مهم ترین پارامترهایی که در تونل زنی اثر می گذارند، عبارت اند از: نوع سنگ، RQD، جهت درزه داری، ناپوستگی های اصلی، جریان آب، سختی، مقاومت فشاری و شیستوزیته.<sup>[۱۰]</sup> در مطالعه ای حاضر با توجه به اطلاعات اولیه، ۳ پارامتر نوع سنگ، RQD و آب زیرزمینی در نظر گرفته شده و حالت های مربوط به هر کدام از پارامترها در ادامه ارائه شده است:

۱. پارامتر نوع سنگ با ۴ حالت (حالت ۱: آهک (Li)، حالت ۲: شیل (Sh)، حالت ۳: تناوب شیل های ماسه بی و آهک های شیلی (SHL)، حالت ۴: تناوب آهک و شیل (LSH))؛

۲. پارامتر RQD با ۳ حالت (حالت ۱: کمتر از ۵، حالت ۲: ۵ - ۲۵، حالت ۳: ۲۵ - ۵۰)؛

۳. پارامتر آب زیرزمینی با ۳ حالت (حالت ۱: کم، حالت ۲: متوسط، حالت ۳: زیاد).

مطابق جدول ۱، برای هر حالت از ۳ پارامتر در نظر گرفته شده، طول میانگین به کمک نظرات افراد کارشناس تونل سازی با توجه به پروفیل طولی تونل، که قبل از شروع به ساخت تهیه شده بود، برآورد و درنهایت از میانگین نظرات آنها استفاده شده است. سپس با معکوس کردن طول میانگین حالات، ضریب شدت انتقال هر کدام از حالات پارامترها نیز مطابق جدول ۱ به دست آمده است.

همچنین به کمک پرسش نامه هایی که توسعه کارشناسان تکمیل شده اند، ماتریس های احتمال انتقال برای هر کدام از پارامترها همان طور که در ادامه مطابق جدول ۱ به دست آمده است. پرسش نامه های تهیه شده به صورت سوالی بوده اند، برای مثال با چه احتمالی پارامتر نوع سنگ از حالت آهک به حالت شیل انتقال می یابد. حال با

فاصله  $(V_x(u))$  نام دارد و به صورت رابطه ۳ تعریف می شود:<sup>[۱۱]</sup>

$$(3) \quad V_x(u) = \{v_{x_{ij}}(u)\}$$

که در آن،  $(u)_{x_{ij}}$  احتمال وقوع حالت  $j$  از پارامتر  $X$  به فاصله  $u$  از سلول  $O$  است، که حالت  $z$  دارد. همچنین رابطه ۳ را می توان به شکل رابطه ۴ نیز بیان کرد:<sup>[۱۲]</sup>

$$(4) \quad V_X(u) = \exp(uA_X) = I + uA_X + \frac{1}{2!}u^2 A_X^2 + \dots + \frac{1}{m!}u^m A_X^m$$

که در آن،  $I$  ماتریس واحد از مرتبه  $n$  تعداد حالت های پارامتر  $X$  و  $m$  عدد خیلی بزرگی است که می تواند تا بی نهایت ادامه پیدا کند.

-- محاسبه ای احتمال وقوع حالت های پارامتر در شرایطی که در موقعیت  $O$  حالت پارامتر به طور قطعی مشخص نباشد و یکتابع جرم احتمال در مورد آن داده شده باشد. برای حالت مذکور اجازه دهید  $(u)_{x_j}$  احتمال وقوع حالت  $z$  از پارامتر  $X$  در موقعیت  $u$  باشد، آنگاه رابطه ۵ را خواهیم داشت:<sup>[۱۲]</sup>

$$(5) \quad S_{X_j}(u) = \sum_{i=1}^n S_{X_i}(\circ) v_{x_{ij}}(u)$$

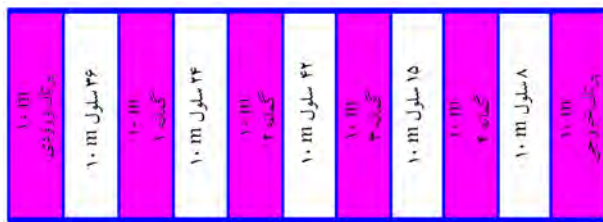
بعد از اینکه احتمال وقوع حالت های تمام پارامترهای موردنظر در مسیر تونل به دست آمد، می توان به کمک آنها پروفیل مربوط به هر پارامتر و درنهایت از ترکیب پروفیل های به دست آمده، پروفیل کلاس زمین را به دست آورد. هدف مدل زمین شناسی، تشکیل پروفیل کلاس زمین است، تا از آن بتوان در مدل ساخت جهت برآورده زمان و هزینه های هر کلاس در هر موقعیتی در طول تونل استفاده کرد.

#### ۳. مدل ساخت

در پروژه های تونل سازی، اغلب به دلیل عدم قطعیت در مورد میزان زمان و هزینه موردنیاز روش حفاری و سیستم نگه داری در نظر گرفته شده، پیش بینی زمان و هزینه نهایی بسیار مشکل خواهد بود و موجب می شود که در برنامه ریزی های اولیه نتوان به نتایج دقیقی در مورد آن دست یافت. مدل ساخت با در نظر گرفتن فرایند ساخت در طول تونل برای هر کلاس زمین، زمان، و هزینه می موردنظر را برآورد می کند. هر کلاس زمین، یک روش حفاری و سیستم نگه داری معینی دارد که در طول هر چرخه از ساخت، طی یک سری فعالیت ها انجام می شود، که شبکه فعالیت نام دارد. در مدل ساخت می توان با توجه به شبکه فعالیت مربوط به هر کلاس زمین، زمان و هزینه هی هر چرخه از ساخت کلاس موردنظر را تجربه از پروژه های اجرا شده قبلي در شرایط مشابه و نظر افراد متخصص برآورد کرد و از آن برای پیش بینی زمان و هزینه نهایی ساخت تونل استفاده کرد.<sup>[۱۱، ۱۲]</sup>

#### ۴. به کار گیری روش DAT در تونل همرو

در به کار گیری روش DAT برای تونل جاده همرو، در مراحل مختلفی از مدل زمین شناسی و مدل ساخت به منظور دست یابی دقیق تر به داده های ورودی، نظرات



شکل ۲. تعداد و موقعیت سلول های مشاهده بی در مسیر تونل همرو.

## • پارامتر آب زیرزمینی

$$P_w = \begin{bmatrix} 1 & 2 & 3 \\ 1 & \begin{bmatrix} 0 & 0,72 & 0,28 \\ 0,50 & 0 & 0,50 \\ 0,28 & 0,72 & 0 \end{bmatrix} \\ 2 & \\ 3 & \end{bmatrix}$$

$$A_w = \begin{bmatrix} 1 & 2 & 3 \\ 1 & \begin{bmatrix} -0,0016 & 0,00115 & 0,00045 \\ 0,0019 & -0,0038 & 0,0019 \\ 0,0006 & 0,0017 & -0,0023 \end{bmatrix} \\ 2 & \\ 3 & \end{bmatrix}$$

به منظور پیش‌بینی احتمال وقوع هر کدام از حالات پارامترها (پروفیل پارامتر) در مسیر تونل همرو به کمک مدل مارکوف، فاصله‌ی میان هر دو سلول مشاهده بی به تعداد سلول‌هایی با طول هر کدام برابر ۱۰ متر مطابق شکل ۲ تقسیم شده است، که مطابق آن سلول‌های مشاهده بی مربوط به گمانه‌ها و پرتال ورودی و خروجی تونل به صورت رنگی نشان داده شده‌اند و برای هر کدام از این حالات مشاهده بی، یک سلول با طول ۱۰ متر در نظر گرفته شده است. بنابراین در کل مسیر تونل، ۶ سلول مشاهده بی موجود بودند که همه‌ی آن‌ها به صورت غیرقطعی در نظر گرفته شده‌اند. دلیل درنترگرفتن سلول‌های مشاهده بی ابتدا و انتهای تونل (سلول‌های  $O_1$  و  $O_2$ ) به صورت غیرقطعی این بوده است که از هر دو طرف، فاصله‌ی حدود ۱۰۰ متر، مربوط به پرتال ورودی و خروجی تونل بوده و از آن به بعد طول حفاری تونل برابر ۱۳۱۰ متر شده است؛ بنابراین به صورت قطعی برای دو سلول مذکور، حالات‌های پارامترها با توجه به داده‌های قبل از شروع به حفاری پرتال‌های ورودی و خروجی تونل مشخص نشده است، ولی چون به قسمت ابتدا و انتهای تونل نزدیک بوده و همچنین به دلیل میزان روباره‌ی کم، احتمال وقوع حالت‌های هر کدام از پارامترها به صورت غیرقطعی توسعه افزاد متخصص برآورد شده است و درنتیجه دو سلول مذکور به عنوان دو سلول مشاهده بی غیرقطعی در نظر گرفته شده‌اند. برای ۴ سلول مشاهده بی  $O_3$ ,  $O_4$ ,  $O_5$  و  $O_6$  نیز که مربوط به موقعیت گمانه‌ها بوده‌اند، حالت غیرقطعی در نظر گرفته شده است، زیرا در موقعیت گمانه‌ها با داده‌های به دست آمده نمی‌توان به صورت کاملاً قطعی در مورد نوع حالت پارامتر موردنظر اظهارنظر کرد، از این رو سلول‌های نامبرده نیز به صورت سلول‌های مشاهده بی غیرقطعی در نظر گرفته شده‌اند و احتمال وقوع حالت‌های مختلف پارامترها برای آن‌ها توسعه افزاد متخصص با بهره‌گیری از پروفیل زمین‌شناسی و داده‌های حاصل از گمانه‌ها ارزیابی شده‌اند. درنهایت از میانگین‌گیری نظرات چند فرد کارشناس و نظرات متفاوتی از یک کارشناس، احتمال وقوع هر حالت در داخل سلول‌های مشاهده بی به صورت جدول ۲ به دست آمده است.

جدول ۱. طول میانگین و ضریب شدت انتقال مربوط به هر حالت از هر پارامتر.

پارامتر	حالات	طول میانگین انتقال (m)	ضریب شدت پارامتر (m <sup>-1</sup> )
نوع سنگ	Li	۳۲۰	۰,۰۰۳۱
	SH	۱۲۰	۰,۰۰۸۳
	SHL	۷۸۰	۰,۰۰۱۲
	LSH	۹۰	۰,۰۱۱۱
آب زیرزمینی	کمتر از ۵	۲۸۰	۰,۰۰۳۵
	۲۵ تا ۵	۶۵۰	۰,۰۰۱۵
	۳۸۰	۵۰ تا ۲۵	۰,۰۰۲۶
	کم	۶۲۰	۰,۰۰۱۶
متوسط	آب زیرزمینی	۲۶۰	۰,۰۰۳۸
	زیاد	۴۳۰	۰,۰۰۲۳

توجه به فرمول ماتریس شدت انتقال، که فعلاً بیان شده است (رابطه‌ی ۲)، به کمک ضریب شدت انتقال و ماتریس احتمال انتقال، ماتریس شدت انتقال نیز برای هر پارامتر به دست آمده است.

## • پارامتر نوع سنگ

$$P_r = \begin{bmatrix} 1 & 2 & 3 & 4 \\ 1 & \begin{bmatrix} 0 & 0,24 & 0,74 & 0,02 \\ 0,48 & 0 & 0,48 & 0,04 \\ 0,28 & 0,28 & 0 & 0,44 \\ 0,01 & 0,01 & 0,98 & 0 \end{bmatrix} \\ 2 & \\ 3 & \\ 4 & \end{bmatrix}$$

$$A_r = \begin{bmatrix} 1 & 2 & 3 & 4 \\ 1 & \begin{bmatrix} -0,0031 & 0,0007 & 0,0022 & 0,0002 \\ 0,0039 & -0,0083 & 0,0039 & 0,0005 \\ 0,0003 & 0,0003 & -0,0012 & 0,0006 \\ 0,00015 & 0,00015 & 0,0108 & -0,0111 \end{bmatrix} \\ 2 & \\ 3 & \\ 4 & \end{bmatrix}$$

## • پارامتر RQD

$$P_d = \begin{bmatrix} 1 & 2 & 3 \\ 1 & \begin{bmatrix} 0 & 0,10 & 0,90 \\ 0,05 & 0 & 0,95 \\ 0,33 & 0,67 & 0 \end{bmatrix} \\ 2 & \\ 3 & \end{bmatrix}$$

$$A_d = \begin{bmatrix} 1 & 2 & 3 \\ 1 & \begin{bmatrix} -0,0035 & 0,0003 & 0,0032 \\ 0,0001 & -0,0015 & 0,0014 \\ 0,0008 & 0,0018 & -0,0026 \end{bmatrix} \\ 2 & \\ 3 & \end{bmatrix}$$

جدول ۲. احتمال وقوع هر حالت از هر پارامتر در موقعیت سلول‌های مشاهده‌بی.

پارامتر	سلول‌های مشاهده‌بی						
	پرتال خروجی	گمانه‌ی ۴	گمانه‌ی ۳	گمانه‌ی ۲	گمانه‌ی ۱	پرتال ورودی	
نوع سنگ	۰,۰۳	۰,۰۱	۰,۰۵	۰,۰۵	۰,۸۰	۰,۹۰	حالات ۱
	۰,۰۲	۰,۰۳	۰,۰۴	۰,۰۹	۰,۱۰	۰,۰۵	حالات ۲
	۰,۱۰	۰,۹۵	۰,۴۰	۰,۸۵	۰,۰۶	۰,۰۴	حالات ۳
	۰,۸۵	۰,۰۱	۰,۰۱	۰,۰۱	۰,۰۴	۰,۰۱	حالات ۴
RQD	۰,۰۱	۰,۰۵	۰,۱۵	۰,۹۵	۰,۰۹	۰,۰۳	حالات ۱
	۰,۹۰	۰,۱۵	۰,۸۰	۰,۰۴	۰,۹۰	۰,۹۵	حالات ۲
	۰,۰۹	۰,۸۰	۰,۰۵	۰,۰۱	۰,۰۱	۰,۰۲	حالات ۳
آب زیرزمینی	۰,۰۳	۰,۸۰	۰,۸۵	۰,۰۴	۰,۰۲	۰,۰۲	حالات ۱
	۰,۰۷	۰,۱۵	۰,۱۰	۰,۹۵	۰,۰۸	۰,۰۸	حالات ۲
	۰,۹۰	۰,۰۵	۰,۰۵	۰,۰۱	۰,۹۰	۰,۹۰	حالات ۳

:  $O_t$  و  $O_{t-1}$  : عدد حالت‌های پارامتر مورد نظر؛

(۱) احتمال وقوع حالت  $z$  از پارامتر  $X$  در سلول  $L$  به شرط اینکه حالت در سلول مشاهده‌بی  $O_{t-1}$ ،  $O_t$  باشد (بالاترین  $ns$  معروف چند مشاهده‌ی غیرقطعی است):

$P[X(O_{t-1}) = m]$ : احتمال اینکه حالت پارامتر  $X$  در سلول مشاهده‌بی  $O_{t-1}$ ،  $O_t$  باشد ( $m$  برای هر پارامتر از ۱ تا  $n$  متغیر است)؛

$P[X(O_t) = w]$ : احتمال اینکه حالت پارامتر  $X$  در سلول مشاهده‌بی  $O_t$  باشد ( $w$  برای هر پارامتر از ۱ تا  $n$  متغیر است)؛

(۲) احتمال وقوع حالت  $w$  از پارامتر  $X$  در سلول مشاهده‌بی  $O_t$  به شرط اینکه حالت در سلول  $L$ ،  $z$  باشد:

(۳)  $V_{X_{mz}}(L - O_{t-1})$ : احتمال وقوع حالت  $z$  از پارامتر  $X$  در سلول  $L$  به شرط اینکه حالت در سلول مشاهده‌بی  $O_{t-1}$ ،  $O_t$  باشد:

(۴)  $V_{X_{mw}}(O_t - O_{t-1})$ : احتمال وقوع حالت  $w$  از پارامتر  $X$  در سلول مشاهده‌بی  $O_t$  به شرط اینکه حالت در سلول مشاهده‌بی  $O_{t-1}$ ،  $O_t$  باشد.

رابطه‌ی ۶ مربوط به سلول‌های مجهول میان دو سلول مشاهده‌بی  $O_1$  و  $O_2$  است، که احتمال وقوع هر کدام از حالت‌های ۳ آب زیرزمینی، RQD و نوع سنگ را در سلول مجهول  $L$  پیش‌بینی می‌کند. بعد از پیدا کردن احتمال وقوع حالت‌ها در سلول مجهول  $L$ ، نوبت به سلول مجهول  $L$  می‌رسد، به‌گونه‌ی که در رابطه‌ی ۶،  $L$  جایگزین  $L$  و  $z$  جایگزین  $z$  خواهد شد و به همین ترتیب نوبت برای سایر سلول‌های مجهول تا سلول مجهول آخر در فاصله‌ی میان دو مشاهده خواهد رسید.

به‌منظور پیدا کردن احتمال وقوع هر کدام از حالت‌های پارامترهای در نظر گرفته شده، رابطه‌ی ۶ در نرم‌افزار متلب<sup>۵</sup> کدنویسی شده است. نتایج بدست آمده از نرم‌افزار متلب برای احتمال وقوع حالت‌های هر پارامتر در داخل هر سلول در طول تونل، مطابق شکل‌های ۴ الی ۶ بدست آمده است.

با توجه به پارامترها و حالت‌های در نظر گرفته شده برای آن‌ها، در کل ۳۶ (۴  $\times$  ۳  $\times$  ۳) شرایط (بردار) مختلف زمین‌شناسی می‌تواند در طول مسیر

تونل اتفاق بیفتد. بدینه‌ی است که نمی‌توان برای هر کدام از این شرایط یک روش حفاری و سیستم نگهداری در نظر گرفت، بلکه چند روش حفاری و سیستم نگهداری

سلول	$X(O_s)$	$X(L_z)$	$X(L_w)$	...	$X(L_{z_k})$	$X(O_s)$
حالات	$m$	$Z_z$	$Z_w$	...	$Z_{z_k}$	$W$
سلول	$X(O_s)$	$X(L_{z_k})$	$X(L_w)$	...	$X(L_{z_n})$	$X(O_s)$
حالات	$m$	$Z_{z_k}$	$Z_w$	...	$Z_{z_n}$	$W$
سلول	$X(O_s)$	$X(L_{z_n})$	$X(L_w)$	...	$X(L_{z_1})$	$X(O_s)$
حالات	$m$	$Z_{z_n}$	$Z_w$	...	$Z_{z_1}$	$W$
سلول	$X(O_s)$	$X(L_{z_1})$	$X(L_w)$	...	$X(L_{z_k})$	$X(O_s)$
حالات	$m$	$Z_{z_1}$	$Z_w$	...	$Z_{z_k}$	$W$

شکل ۳. روش پیش‌بینی احتمال وقوع هر کدام از حالت‌های پارامترها در داخل سلول‌های مجهول میان هر دو سلول مشاهده‌بی با طول  $10^{\circ}$  متر برای هر سلول (سلول‌های مشاهده‌بی به صورت رنگی نمایان شده‌اند).

حال نوبت به تشکیل پروفیل پروفیل پارامتر می‌رسد که در آن برای هر پارامتر، احتمال وقوع حالت‌های آن در تمام سلول‌ها در مسیر تونل قابل دست‌یابی است. جهت به دست آوردن پروفیل‌های پارامتر، چون احتمال وقوع حالت‌ها در موقعیت سلول‌های مشاهده‌بی به صورت غیرقطعی بیان شده است، از رابطه‌ی ۶ استفاده شده است.<sup>[۱]</sup>

$$V_{X_{mz}}(L - O_{t-1}) = \begin{cases} \sum_{m=1}^n P[X(O_{t-1}) = m] & O_{t-1} \leq L < O_t, \\ \sum_{w=1}^n P[X(O_t) = w] & t = 2, 3, \dots, s \\ \frac{V_{X_{mz}}(O_t - L)}{V_{X_{mw}}(O_t - O_{t-1})} & \end{cases}$$

$$\sum_{w=1}^n P[X(O_s) = w] V_{X_{ws}}(L - O_s) & L \geq O_s \quad (6)$$

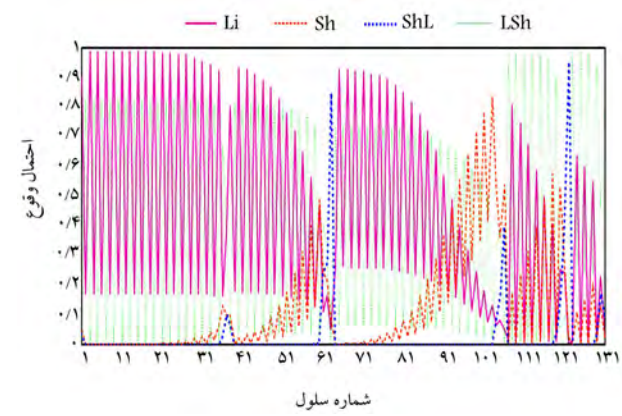
در رابطه‌ی ۶ که برای شکل ۳ بیان شده است، داریم:  $w$ : تابع چگالی احتمال حالت‌های یک پارامتر معین در سلول‌های مشاهده‌بی

جدول ۳. معرفی بردارهای زمین‌شناسی مربوط به هر کدام از کلاس‌های در نظر گرفته شده‌ی زمین.

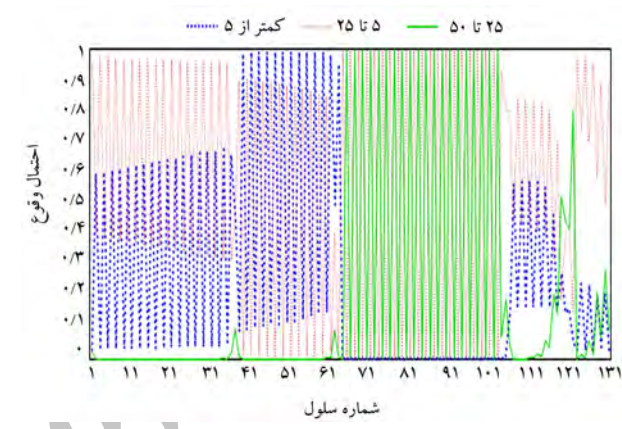
شماره‌ی کلاس	حالت پارامتر		
	RQD	نوع سنگ	زمین
۱، ۲، ۳	۱	۱، ۲، ۳، ۴	۱
۲، ۳	۲	۲	
۱	۲	۲	۲
۱، ۲، ۳	۲	۱، ۴	۳
۳	۳	۱، ۳	
۲	۳	۱، ۲، ۳	
۳	۳	۲، ۴	۴
۱، ۲، ۳	۲	۳	
۱	۳	۱، ۲، ۳، ۴	
۲	۳	۴	۵

جدول ۴. مشخصات مربوط به هر کدام از کلاس‌های زمین.

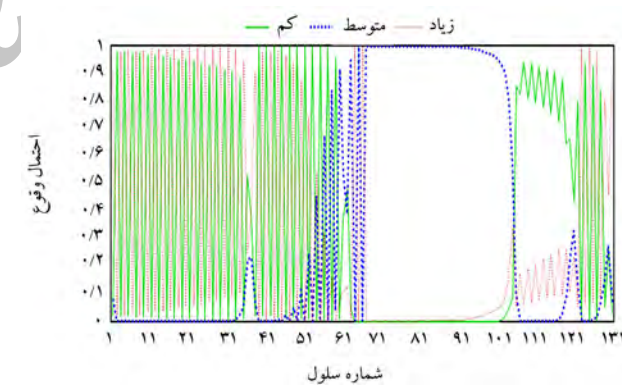
مشخصات	شماره‌ی کلاس	زمین
روش تونل‌های جانبی - نگهداری: IPE ۱۸۰، فاصله‌داری ۷۵ - ۵۰ متر و ۲۰ سانتی‌متر شاتکریت تقویت شده (خیلی ضعیف)	۱	
به وسیله‌ی دو لایه مش $100 \times 100 \text{ mm}$ $\varphi 8 @ 100$		
روش دیافراگم مرکزی - نگهداری: IPE ۱۸۰، فاصله‌داری ۱ - ۷۵ متر و ۲۰ سانتی‌متر شاتکریت تقویت شده (ضعیف)	۲	
به وسیله‌ی دو لایه مش $100 \times 100 \text{ mm}$ $\varphi 6 @ 100$		
روش طاق و پاطاق - نگهداری: IPE ۱۸۰، فاصله‌داری ۱/۲ - ۱ متر و ۲۰ سانتی‌متر شاتکریت تقویت شده (ضعیف تا متوسط)	۳	
به وسیله‌ی دو لایه مش $100 \times 100 \text{ mm}$ $\varphi 6 @ 100$		
روش طاق و پاطاق - نگهداری: IPE ۱۸۰، راک بولت تمام تزریقی $4 - 6 \text{ m}$ , L: $2 \times 25 \text{ mm}$ , فاصله‌داری $2 \times 2 \text{ m}$ (متوسط)	۴	
۱۵ سانتی‌متر شاتکریت تقویت شده به وسیله‌ی دو لایه مش $100 \times 100 \text{ mm}$ $\varphi 6 @ 100$		
روش طاق و پاطاق - نگهداری: IPE ۱۸۰، راک بولت تمام تزریقی $4 - 6 \text{ m}$ , فاصله‌داری $2 \times 2 \text{ m}$ (متوسط تا خوب)	۵	
(متوسط تا خوب) ۱۰ سانتی‌متر شاتکریت تقویت شده به وسیله‌ی یک لایه مش $100 \times 100 \text{ mm}$ $\varphi 6 @ 100$		



شکل ۴. پروفیل پارامتر نوع سنگ در تونل همو.



شکل ۵. پروفیل پارامتر RQD در تونل همو.



شکل ۶. پروفیل پارامتر شرایط آب زیرزمینی در تونل همو.

(در مطالعه‌ی حاضر ۵ روش) می‌توان در نظر گرفت که هر کدام برای تعدادی از این بردارهای زمین‌شناسی مناسب باشند. بردارهای زمین‌شناسی مذکور بنا به نظر افراد کارشناس، به کمک پرسشنامه در تعداد ۵ کلاس مطابق جدول ۳ جای گرفته‌اند، که مشخصات مربوط به هر کدام از کلاس‌های در نظر گرفته شده‌ی زمین در جدول ۴ ارائه شده است.

برای تشکیل پروفیل کلاس زمین، از بردارهای زمین‌شناسی مربوط به هر پارامتر در جدول ۳ و داده‌های به دست آمده برای احتمال وقوع حالت‌های هر پارامتر استفاده شده است. برای این کار ابتدا داده‌های به دست آمده برای تشکیل پروفیل‌های پارامتر در نرم‌افزار اکسل وارد شده‌اند. سپس با توجه به جدول ۳، که بردار یا بردارهای

$$+ P[r(l) = 1 \text{ and } d(l) = 2 \text{ and } w(l) = 3] \\ + P[r(l) = 2 \text{ and } d(l) = 3 \text{ and } w(l) = 3]$$

$[g(l)$  belongs to  $GC_7]$

$$= P[r(l) = 1] * P[d(l) = 2] * P[w(l) = 1] \\ + P[r(l) = 1] * P[d(l) = 2] * P[w(l) = 2] \\ + P[r(l) = 1] * P[d(l) = 2] * P[w(l) = 3] \\ + P[r(l) = 2] * P[d(l) = 2] * P[w(l) = 1] \\ + P[r(l) = 2] * P[d(l) = 2] * P[w(l) = 2] \\ + P[r(l) = 2] * P[d(l) = 2] * P[w(l) = 3] \\ + P[r(l) = 2] * P[d(l) = 3] * P[w(l) = 1] \\ + P[r(l) = 2] * P[d(l) = 3] * P[w(l) = 2] \\ + P[r(l) = 2] * P[d(l) = 3] * P[w(l) = 3]$$

$: P[g(l)$  belongs to  $GC_7]$  احتمال وقوع کلاس زمین ۳ در سلول ۱

(r): حالت پارامتر نوع سنگ در سلول ۱ :

(d): حالت پارامتر RQD در سلول ۱ :

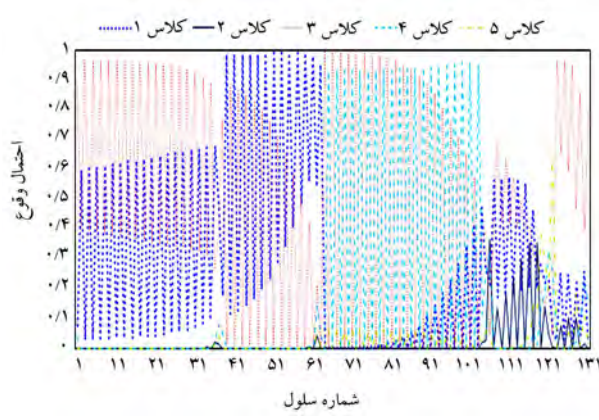
(w): حالت پارامتر آب زیرزمینی در سلول ۱ :

(i): احتمال اینکه حالت پارامتر نوع سنگ در سلول ۱،  $i$  باشد:

(j): احتمال اینکه حالت پارامتر RQD در سلول ۱،  $j$  باشد:

(k): احتمال اینکه حالت پارامتر آب زیرزمینی در سلول ۱،  $k$  باشد.  
برای سایر کلاس‌های زمین نیز به این صورت عمل شده و درنهایت با استفاده

از نتایج بدست آمده برای هر کلاس زمین، پروفیل مطابق شکل ۷ به دست آمده است، که احتمال وقوع هر کدام از کلاس‌های زمین را در داخل تمام سلول‌ها به دست می‌دهد و با عنوان پروفیل کلاس زمین خوانده می‌شود. با توجه به مطلب ذکر شده، مدل مارکوف جهت دست‌یابی به پروفیل کلاس زمین از داده‌های مربوط به موقعیت سلول‌های مشاهده‌بی و ماتریس‌های شدت انتقال استفاده می‌کند، که تمام آن‌ها در مطالعه‌ی حاضر از طریق پرسش‌نامه به کمک افزاد کارشناس تونل‌سازی بدست آمده‌اند. طبیعی است هر چه داده‌های موجود در موقعیت سلول‌های مشاهده‌بی دقیق‌تر باشند و پرسش‌نامه‌ها با دقت بیشتری جواب داده شوند، پروفیل کلاس زمین بدست آمده شباهت بیشتری با پروفیل واقعی زمین خواهد داشت.



شکل ۷. پروفیل کلاس زمین در تونل همو.

زمین‌شناسی هر کلاس زمین را معرفی می‌کند، احتمال وقوع هر کدام از کلاس‌های زمین در داخل هر سلول به کمک نرم‌افزار اکسل به دست آمده است.  
به منظور بیان شیوه‌ی کار در نرم‌افزار اکسل جهت دست‌یابی به احتمال وقوع هر کلاس زمین در داخل هر کدام از سلول‌ها برای مطالعه‌ی حاضر، کلاس زمین ۳ در نظر گرفته شده است، که مطابق جدول ۳ شامل ۸ بردار زمین‌شناسی بدین صورت است:

$$\begin{array}{ll} g_{21} = (1, 2, 1) & g_{22} = (1, 2, 2) \\ g_{23} = (1, 2, 3) & g_{24} = (4, 2, 1) \\ g_{25} = (4, 2, 2) & g_{26} = (4, 2, 3) \\ g_{27} = (1, 3, 3) & g_{28} = (3, 3, 3) \end{array}$$

در مطالعه‌ی حاضر، اگر هر کدام از بردارها را به صورت  $(i, j, k)$  در نظر بگیریم،  $i$  و  $j$  و  $k$  به ترتیب بیان‌کننده‌ی حالت پارامتر نوع سنگ، RQD، و آب زیرزمینی هستند. بنابراین بردار  $(i, j, k)$  برای یک کلاس زمین معین به این معنی است که در کلاس مذکور برای هر سلول، حالت  $i$  از پارامتر نوع سنگ (یکی از ۴ پارامتر نوع سنگ)، حالت  $j$  از پارامتر RQD (یکی از ۳ حالت پارامتر RQD) و حالت  $k$  از پارامتر آب زیرزمینی (یکی از ۳ حالت پارامتر آب زیرزمینی) با احتمال مشخصی اتفاق می‌افتد. بنابراین برای پیدا کردن احتمال وقوع هر کلاس زمین در یک سلول معین باید بردار  $(i, j, k)$  مربوط به آن کلاس، احتمال وقوع حالت  $i$ ،  $j$  و  $k$  را در داخل آن سلول مشخص و سپس این احتمال‌ها را برای هر بردار در هم ضرب کرد. اگر کلاس زمین شامل چند بردار زمین‌شناسی باشد، محاسبات را برای هر کدام از بردارها باید در داخل هر سلول انجام داد و در نهایت آن‌ها را با هم جمع کرد، تا احتمال وقوع آن کلاس در داخل هر سلول به دست آید. در ادامه، با توجه به مطالب ارائه شده، چگونگی دست‌یابی به احتمال وقوع کلاس زمین ۳ در داخل سلول ۱ نشان داده شده است:

$P[g(l)$  belongs to  $GC_7]$

$$= P \left[ \begin{array}{l} g(l) = g_{21} \text{ or } g(l) = g_{22} \text{ or } g(l) = g_{23} \text{ or } g(l) = g_{24} \\ g(l) = g_{25} \text{ or } g(l) = g_{26} \text{ or } g(l) = g_{27} \text{ or } g(l) = g_{28} \end{array} \right]$$

$$= P[g(l) = g_{21}] + P[g(l) = g_{22}] \\ + P[g(l) = g_{23}] + P[g(l) = g_{24}] \\ + P[g(l) = g_{25}] + P[g(l) = g_{26}] \\ + P[g(l) = g_{27}] + P[g(l) = g_{28}] \\ = P[r(l) = 1 \text{ and } d(l) = 2 \text{ and } w(l) = 1] \\ + P[r(l) = 1 \text{ and } d(l) = 2 \text{ and } w(l) = 2] \\ + P[r(l) = 1 \text{ and } d(l) = 2 \text{ and } w(l) = 3] \\ + P[r(l) = 4 \text{ and } d(l) = 2 \text{ and } w(l) = 1] \\ + P[r(l) = 4 \text{ and } d(l) = 2 \text{ and } w(l) = 2] \\ + P[r(l) = 4 \text{ and } d(l) = 2 \text{ and } w(l) = 3]$$

### ۳.۴. برآورد احتمالاتی زمان و هزینه‌ی کل ساخت توپل همرو به کمک روش شبیه‌سازی مونت‌کارلو

در نوشتار حاضر برای انجام روش شبیه‌سازی مونت‌کارلو، از نرم‌افزار پرت مستر استفاده شده است. پس از وارد کردن داده‌ها در نرم‌افزار پرت مستر، نسبت به اجرای شبیه‌سازی مونت‌کارلو اقدام شده است. در خلال اجرای شبیه‌سازی، برنامه‌ی تهیه شده به تعداد مشخصی تکرار شده و در هر یک از آن‌ها، مقادیر غیر قطعی برنامه (در مطالعه‌ی حاضر زمان و هزینه) براساس توزیع‌ها و اطلاعات وارد شده به صورت تصادفی تعیین شده‌اند. نرم‌افزار پرت مستر در انتهای هر تکرار میزان زمان و هزینه‌ی نهایی را در خود ذخیره‌سازی می‌کند. پس از اتمام کلیه‌ی تکرارها، از مقادیر مذکور برای رسماً نمودارهای موردنظر و نیز تهیی تابع احتمالی مربوط به اجرای هر یک از این موارد استفاده شده است.<sup>[۱۱]</sup>

در نوشتار حاضر تعداد شبیه‌سازی‌ها برای ۱۰۰۰۰ بار انجام شده و نتایج حاصل از آن‌ها در ادامه ارائه شده است.

شکل‌های ۸ و ۹، نمودارهای ستونی مربوط به هزینه‌ی نهایی و مدت زمان نهایی توپل همرو را نشان می‌دهند، که مطابق آن‌ها نموده توزیع نتایج هزینه و مدت زمان نهایی پژوهشی همرو بیان شده است. برای سطح اطمینان‌های متفاوتی از صفر تا ۱۰۰ درصد، نتایج متفاوتی برای زمان و هزینه‌ها به دست آمده است. هر سطح اطمینان درواقع، زمان و هزینه‌ی بیشینه‌ی را جهت اتمام پژوهه به دست می‌دهد. به عنوان یک حالت بهینه می‌توان سطح اطمینان وقوع هر کدام از زمان و هزینه‌ی نهایی را برابر ۵۰٪ در نظر گرفت. اگر برای مطالعه‌ی حاضر سطح اطمینان ۵۰٪ در نظر گرفته شود (مطابق شکل‌های ۸ و ۹)، پژوهه با بیشینه‌ی هزینه حدود

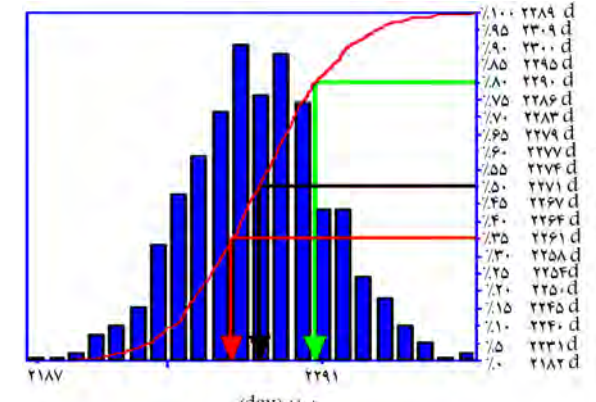
هدف مدل زمین‌شناسی، دست‌یابی به پروفیل کلاس زمین است، تا بتوان از آن به عنوان ورودی مدل ساخت استفاده کرد.

### ۲.۴. مدل ساخت برای توپل همرو

در مدل ساخت، زمان و هزینه‌ی اجرای توپل در هر سلول برای هر کلاس زمین به دست می‌آید. به منظور برآورد زمان و هزینه برای هر سلول (۱۰ متر) در توپل همرو به کمک پرسش‌نامه از افراد کارشناس خواسته شده است که ابتدا برای هر کدام از کلاس‌های زمین، یک شبکه‌ی فعالیت در نظر بگیرند، که یک چرخه‌ی ساخت (حفاری و نگهداری) از کلاس زمین موردنظر را کامل کند. سپس به کمک شبکه‌ی فعالیت مذکور، میزان زمان و هزینه‌ی کمینه، متوسط، و بیشینه‌ی مربوط به هر فعالیت (برای سال ۱۳۹۴)، حدفاصل پایان یک فعالیت و شروع فعالیت جدید، تأخیرها، خرابی‌ی ماشین‌آلات، و... با استفاده از تجربه‌ی پژوهه‌های اجراشده‌ی قبلی در شرایط زمین‌شناسی مشابه تقریب زده شده و درنهایت، زمان و هزینه‌های به دست آمده با هم جمع شده است تا زمان و هزینه‌ی کمینه، متوسط و بیشینه برای هر چرخه‌ی ساخت از کلاس‌های زمین به دست آید. سپس از میانگین‌گیری نظرهای ارائه شده توسط افراد کارشناس مختلف برای هر کلاس زمین، زمان و هزینه‌ی کمینه، متوسط، و بیشینه به ازاء هر ۱۰ متر ساخت (هر سلول) مطابق جدول ۵ به دست آمده است. همچنین از آنجایی که هزینه‌ی هر چرخه‌ی ساخت سال به سال در حال افزایش است، بنابراین، میزان کمینه، متوسط، و بیشینه‌ی افزایش درصدی هزینه‌ها به صورت سالیانه نیز برای هر سلول مطابق جدول ۵ به دست آمده است.

نکته‌ی که باید در مطالعه‌ی حاضر مدنظر قرار گیرد، این است که در پرسش‌نامه، جهت برآورد زمان و هزینه‌ها برای هر چرخه‌ی ساخت از یک کلاس زمین معین از افراد کارشناس خواسته شده است تا فرض کنند توپل فقط از یک طرف (ورودی یا خروجی) حفاری شود و نتایج به دست آمده برای زمان و هزینه‌های ساخت نیز برای فرض موردنظر است. همچنین در برآورد زمان و هزینه‌ها، کف توپل (عملیات مربوط به ساخت جاده‌ی توپل) در نظر گرفته نشده است.

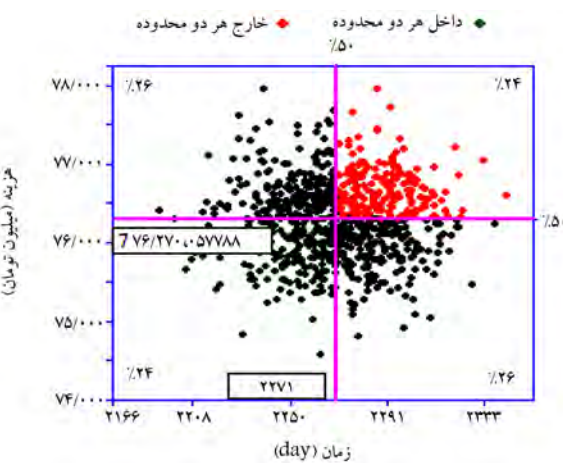
حال بعد از دست‌یابی به زمان و هزینه‌ی اجرای ساخت هر سلول (۱۰ متر) برای هر کلاس زمین، نوبت به تخمین زمان و هزینه‌ی نهایی ساخت کل توپل می‌رسد. به منظور برآورد زمان و هزینه‌ی نهایی ساخت توپل باید زمان و هزینه‌ی تمام سلول‌ها (۱۳۱ سلول) را با هم جمع کرد. از آنجایی که در داخل هر سلول، هر کدام از کلاس‌های زمین با احتمال مشخصی اتفاق می‌افتد (پروفیل کلاس زمین)، باید برای ارزیابی زمان و هزینه‌ی نهایی ساخت کل توپل، روش شبیه‌سازی مونت‌کارلو را به کار برد.



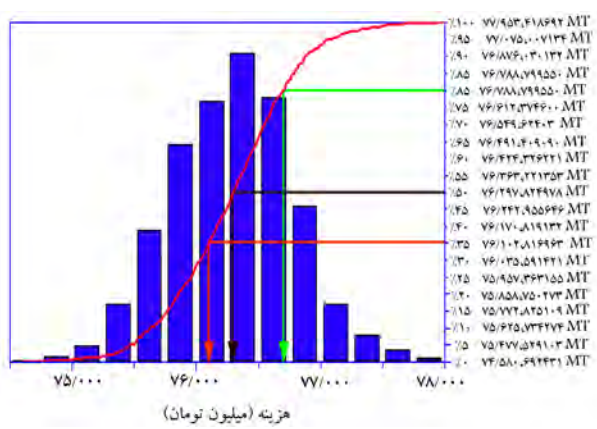
شکل ۸. نمودار ستونی برای نمایش نهایی توزیع نتایج مربوط به مدت زمان نهایی پژوهه‌ی توپل همرو.

جدول ۵. زمان و هزینه‌ی مربوط به هر سلول (۱۰ متر) از کلاس زمین موردنظر.

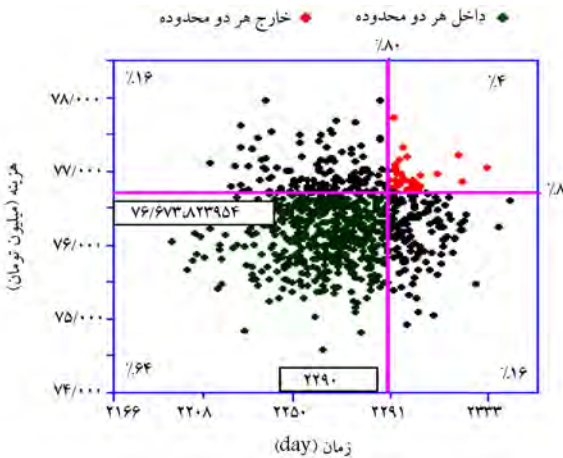
شماره‌ی کلاس	زمان به ازاء هر سلول (روز)	هزینه به ازاء هر سلول (میلیون تومان)				
		کمینه	متوسط	بیشینه	کمینه	متوسط
۱	۱۶,۷	۳۵۰	۳۸۵,۶۳	۴۲۴,۴۵	۱۲,۴	۲۰
۲	۱۴,۲	۳۱۸,۳۵	۳۵۰	۳۸۵,۶۳	۱۱,۷	۱۶,۷
۳	۱۱,۷	۲۷۶,۷۸	۳۱۸,۳۵	۳۵۰	۱۰	۱۱,۷
۴	۱۰	۲۲۶,۲۰	۲۷۶,۷۸	۳۱۸,۳۵	۸,۴	۱۱,۷
۵	۱۰	۱۷۲,۹۶	۲۳۶,۲۰	۲۷۶,۷۸	۶,۳	۸,۴



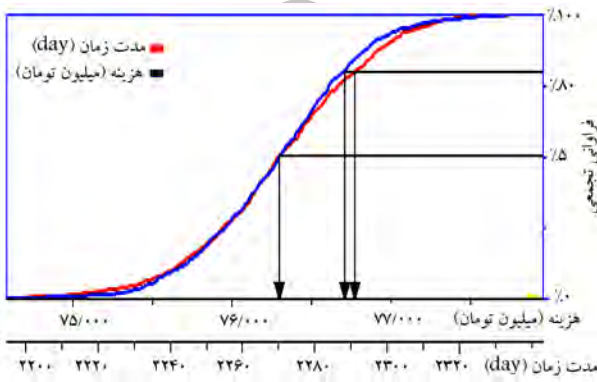
شکل ۱۱. نمودار پراکندگی با سطح اطمینان ۵۰٪ برای هر کدام از زمان و هزینه‌ها.



شکل ۹. نمودار ستونی برای نمایش نحوه توزیع نتایج مربوط به هزینه‌ی نهایی پروژه‌ی تولی همرو.



شکل ۱۲. نمودار پراکندگی با سطح اطمینان ۸۰٪ برای هر کدام از زمان‌ها و هزینه‌ها عدم قطعیت کثیر نسبت به شکل ۱۱).



شکل ۱۰. نمودار تجمعی برای نمایش بیشینه‌ی زمان و هزینه‌ها با سطح اطمینان متفاوتی از صفر تا ۱۰۰٪.

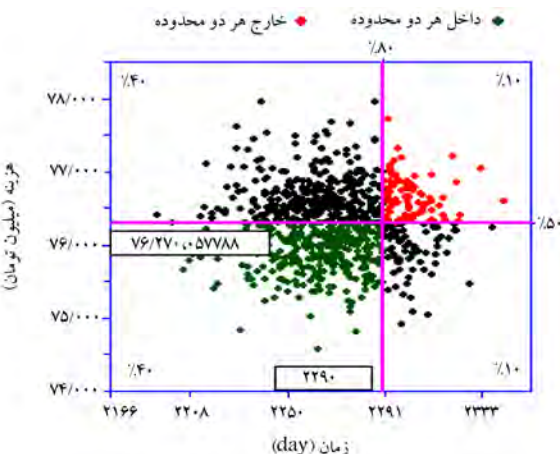
نهایی به این معنی است که نصف نقاط شیوه‌سازی بالای خط افقی و نصف آن‌ها پایین این خط واقع هستند. همچنین سطح اطمینان ۵۰٪ برای مدت زمان نهایی به این معنی است که نصف نقاط شیوه‌سازی در سمت چپ خط عمودی و نصف آن‌ها در سمت راست این خط هستند. نقاط سبز معرف نقاطی هستند که پایین خط افقی (برای هزینه) و در سمت چپ خط عمودی (برای مدت زمان) قرار دارند و به این معنی هستند که زمان و هزینه‌ی نهایی مربوط به آن‌ها با سطح اطمینان کمتر از سطح اطمینان مشخص شده به ترتیب بهوسیله‌ی خط عمودی و افقی است و هر چه سطح اطمینان در نظر گرفته شده بهوسیله‌ی دو خط افقی و عمودی بیشتر باشد، تعداد نقاط سبزرنگ مذکور بیشتر است و عدم قطعیت در مورد اتمام پروژه با بیشینه‌ی زمان و هزینه‌ی به دست آمده کمتر خواهد شد. نقاط قرمزنگ بر عکس نقاط سبزرنگ، نقاطی هستند که با افزایش سطح اطمینان در نظر گرفته شده بهوسیله‌ی دو خط افقی و عمودی، تعداد آن‌ها کمتر شده و عدم قطعیت در مورد اتمام پروژه با بیشینه‌ی زمان و هزینه‌ی به دست آمده کاهش خواهد یافت. نقاط سیاه، نقاطی هستند که برای یکی از خط‌های افقی و عمودی سبز و برای دیگری قرمز هستند. هر چه سطح اطمینان در نظر گرفته شده بهوسیله‌ی دو خط عمودی و افقی بیشتر باشد، تعداد نقاط سیاه‌رنگ کمتر می‌شود و درنتیجه، عدم قطعیت در مورد اتمام پروژه با بیشینه‌ی زمان و هزینه‌ی به دست آمده کاهش خواهد یافت (شکل ۱۲).

۷۶۲۷۰۰۰۰۰۰۰ تومان در بیشینه‌ی زمان ۲۲۷۱ روز به اتمام می‌رسد. البته باید توجه داشت که این زمان و هزینه‌ی نهایی برای وقتی است که تولی فقط از یک طرف (اوردی یا خروجی) حفاری شود، زیرا در پرسشنامه خواسته شده است که زمان و هزینه‌ها طوری تخمین زده شوند که فرض شود تولی فقط از یک بخش حفاری خواهد شد. زمانی که فرض بر این باشد که تولی از دو طرف حفاری شود، زمان نهایی نصف زمان به دست آمده برای یک طرف و هزینه‌ی آن نیز کاهش می‌یابد؛ زیرا برای زمان کمتر، هزینه نیز کمتر تحت تأثیر افزایش هزینه‌های پروژه‌ی تولی همرو شکل ۱۰، نمودار تجمعی مدت زمان نهایی و هزینه‌ی پروژه‌ی نهایی پروژه‌ی بیشینه‌ی زمان و هزینه‌ی مدد، که به کمک آن می‌توان با سطح اطمینان‌های متفاوتی بیشینه‌ی زمان و هزینه‌ی پروژه را مشخص ساخت. در نمودار مذکور، بیشینه‌ی زمان و هزینه‌ی تولی همرو برای سطح اطمینان ۵۰٪ و ۸۰٪ نشان داده شده است.

برای نشان دادن ارتباط میان دو متغیر مدت زمان نهایی و هزینه‌ی نهایی پروژه‌ی تولی همرو، از نمودار پراکندگی مطابق شکل ۱۱ استفاده شده است، که مطابق آن مثلاً تعیین می‌شود که با یک سطح اطمینان مشخص، چه زمان و چه هزینه‌یی برای پروژه موردنیاز است. در شکل ۱۱، مدت زمان نهایی و هزینه‌ی نهایی برای پروژه‌ی تولی همرو با سطح اطمینان ۵۰٪ نشان داده شده است، که مطابق آن نقاط با سه رنگ متفاوت نشان داده شده‌اند. خط افقی و عمودی (خطوط عمود بر هم داخل چهارچوب نمودار) به ترتیب بیان‌کننده‌ی موقع هزینه‌ی نهایی و مدت زمان نهایی پروژه با سطح اطمینان مشخصی هستند. برای مثال، سطح اطمینان ۵۰٪ برای هزینه‌ی

گفت ۱۵ روز بیشتر برای زمان و حدود ۳۰۰ میلیون کمتر برای هزینه‌ها نسبت به حالت واقعی در نظر گرفته شده است و در این صورت تفاوت چندانی با حالت واقعی ندارد.

بنابراین مشخص شده است که نتایج به دست آمده برای مدت زمان و هزینه ساخت کل تونل همرو به کمک داده‌های بعد از ساخت، مطابقت زیادی با زمان و هزینه‌ی نهایی به دست آمده با روش DAT (با سطح اطمینان ۵۰٪) به کمک داده‌های قبیل از شروع به ساخت دارد. از این رو می‌توان در برآورد مدت زمان و هزینه‌های ساخت تونل برای پروژه‌های آتی، از روش DAT قبل از شروع به ساخت استفاده کرد و عدم قطعیت‌ها را به طور قابل توجهی به‌منظور کاهش رسیک تصمیم‌گیری مدت زمان و هزینه در مرحله‌ی برنامه‌ریزی‌های اولیه کاهش داد.



شکل ۱۳. نمودار پراکندگی زمان - هزینه‌ی پروژه‌ی همرو، وقتی که عدم قطعیت کمتر در مورد مدت زمان انجام پروژه نسبت به هزینه در نظر گرفته شود.

عدم قطعیت زمین‌شناسی، منبع اصلی رسیک در ساخت زیرزمینی است، که اغلب منجر به فرسکردن بدترین شرایط زمین ممکن می‌شود و درنتیجه، هزینه‌ها به مقدار قابل توجهی افزایش می‌یابد. کاهش طراحی و ساخت محافظه‌کارانه و انتخاب حفاری و نگهداری براساس شرایط زمین‌شناسی موجود، منجر به صرفه‌جویی قابل توجهی در طول ساخت خواهد شد.

برای یک پروفیل زمین‌شناسی خاص، دنباله‌ی بهینه‌ی روش‌های طراحی و ساخت که تابعی از تداوم شرایط زمین‌شناسی است، با هزینه‌های تولید و هزینه‌ی روش‌های مختلف نگهداری و حفاری همراه است. درنتیجه، طراحی، برنامه‌ریزی ساخت، و ارزیابی هزینه‌ی تونل‌ها، نیاز به درنظرگرفتن نوع شرایط زمین‌شناسی دارد. این شرایط قبل از ساخت شناخته شده نیست و باید به طورکلی سازندگان زمین‌شناسی در مجاورت پروژه با مشاهده‌ی موقعیت‌های خاص توسط برنامه‌های اکتشاف زیرسطحی توصیف شود. طراحان و پیمانکاران باید از این اطلاعات جهت توسعه‌ی توصیف زمین‌شناسی و تصمیمات استفاده کنند. این موارد منجر به توسعه‌ی یک توصیف احتمالاتی زمین‌شناسی و انتخاب روش حفاری و سیستم نگهداری می‌شود. درنهایت با استفاده از ابزارهای آماری مختلف، می‌توان عدم قطعیت‌ها را در مورد زمان و هزینه‌ی نهایی پروژه کاهش داد.

در نوشتار حاضر، ابزار کمک به تصمیم‌گیری (DAT) در تونل‌سازی به‌منظور پیش‌بینی زمان و هزینه‌های ساخت تونل جاده‌ی همرو به کمک داده‌های قبیل از شروع به ساخت تونل به‌کار رفته است. نتایج به دست آمده برای مدت زمان و هزینه‌ی نهایی ساخت تونل با روش DAT به کمک داده‌های قبیل از ساخت، با مدت زمان و هزینه‌ی اجرایشده‌ی تونل در حالت واقعی مقایسه شده است. درنهایت با توجه به نزدیک‌بودن نتایج حاصل از DAT با نتایج واقعی نتیجه شده است که می‌توان در برآورد مدت زمان و هزینه‌های ساخت تونل برای پروژه‌های آتی از روش DAT قبل از شروع به ساخت استفاده کرد و عدم قطعیت‌ها را به طور قابل توجهی به‌منظور کاهش رسیک تصمیم‌گیری مدت زمان و هزینه در مرحله‌ی برنامه‌ریزی‌های اولیه کاهش داد.

## پانوشت‌ها

1. decision aids for tunneling
2. engineering geothermal system

گاهی شرایط به‌گونه‌یی است که ایجاب می‌کند عدم قطعیت یکی از متغیرها (زمان و هزینه) کمتری را بیشتر از یکی دیگر باشد. زمانی که برای مثال مطابق شکل ۱۳ می‌خواهیم در مورد مدت زمان پروژه، عدم قطعیت کمتری داشته باشیم، در این صورت سطح اطمینان در نظر گرفته شده به وسیله‌ی خط عمودی (برای مدت زمان) باید بیشتر از این احتمال به وسیله‌ی خط افقی برای هزینه باشد؛ به این معنی که نقاط سبزرنگ برای خط عمودی بیشتر از خط افقی باشد. بنابراین بسته به شرایط اقتصادی جامعه، نوع پروژه و سایر موارد که می‌توانند تأثیرگذار باشند، عدم قطعیت می‌تواند برای زمان و هزینه‌ی نهایی تونل متفاوت در نظر گرفته شود و در برنامه‌ریزی‌های اولیه از آن استفاده کرد.

از آنجایی که در زمان انجام مطالعه‌ی حاضر پروژه‌ی تونل همرو به اتمام رسیده بود و به دلیل در اختیار داشتن داده‌های بعد از ساخت با دقتی بالا تصمیم بر آن شده است که نتایج به دست آمده با روش DAT به کمک داده‌های بعد از ساخت تونل پروژه‌های آتی با عدم قطعیت کمتری این روش تونل اعتبارسنجی شود، تا بتوان در پروژه‌های آتی به کار برد. مدت زمان و هزینه‌ی را جهت ارزیابی زمان و هزینه‌ی نهایی ساخت تونل به‌کار برد. مدت زمان و هزینه‌ی به دست آمده به کمک داده‌های بعد از ساخت و افزادی که ساخت تونل همرو را بر عهده داشته‌اند، به ترتیب برابر ۲۲۵۶ و ۷۶۵۶۰۸۷۹۰۰۰ روز و ۷۶۵۶۰۸۷۹۰۰۰ تومان به دست آمده است. البته باید توجه داشت که چون در مطالعه‌ی حاضر زمان شروع به ساخت تونل همرو سال ۱۳۹۴ فرض شده است، بنابراین هزینه‌های واقعی برای سال ۱۳۹۴ مطابق آیین نامه به روزرسانی شده و همچنین با توجه به میزان زمان واقعی اجرای تونل، این هزینه‌ها به صورت سالیانه ۲۵٪ افزایش یافته‌اند، تا درنهایت این میزان هزینه‌ی واقعی به دست آمده است. همچنان که از نمودارهای به دست آمده برای مدت زمان و هزینه‌ی ساخت تونل همرو به کمک روش DAT مشخص است، این زمان و هزینه به ترتیب با احتمال ۲۷٪ و ۷۲٪ اتفاقد ندارد. از آنجایی که در نوشتار حاضر، سطح اطمینان ۵۰٪ به عنوان یک حالت بهینه در نظر گرفته شده است، می‌توان

3. Pert Master
4. Markov
5. Matlab

## منابع (References)

1. Chan, M.H.C. "A geological prediction and updating model in tunneling", Thesis (M.S.), Massachusetts Institute of Technology Cambridge, University of MIT, 236 p. (1981).
2. Vijaya, B.H. "Resource modeling for DAT", Massachusetts Institute of Technology Cambridge, University of MIT, 358 p. (1995).
3. Sinfield, J.V. and Einstein, H.H. "Evaluation of tunneling technology using the decision aids for tunneling", *Tunnelling and Underground Space Technology*, **11**(4), pp. 491-504 (1996).
4. Christoph, H. "Updating in the decision aids for tunneling", Massachusetts Institute of Technology Combridge, University of MIT, 374 p. (2000).
5. Min, S.Y., Einstein, H.H., Lee, J.S. and Kim, T.K. "Application of decision aids for tunneling (DAT) to a drill and blast tunnel", *J. Civil Eng., KSCE*, **7**(5), pp. 619-628 (2003).
6. Min, S.Y. and Einstein, H.H., *DAT Application for the Wonhyo Tunnel*, Final Report to Korea Railroad Research Institute (KRRI) (2003).
7. Min, S.Y., Einstein, H.H., Lee, J.S. and Lee, H.S. "Application of decision aids for tunneling (DAT) to update excavation cost/time information", *J. Civil Eng., KSCE*, **9**(4), pp. 335-346 (2005).
8. Hung, V. "Modelling ancertainty in the NEW YORK city No. 7 subwat line extenstion project using decision aids for tunnelling (DAT)", Massachusetts Institute of Technology Cambridge, University of MIT, 95 p. (2012).
9. Moret, Y. "Modeling cost and time uncertainty in rail line construction", Massachusetts Institute of Technology Cambridge, University of MIT, 443 p. (2011).
10. Yost, K., Valentin, A. and Einstein, H.H. "Estimating cost and time of well bore drilling for engineered geothermal systems (EGS)-considering uncertainties", Massachusetts Institute of Technology Cambridge, University of MIT (2015).
11. Ioannou. G. "A geological prediction model for tunneling", *Journal of Construction Engineering and Management*, **115**(3), pp. 339-356 (1989).
12. Photios Ioannou, G. "The economic value of geologic exploration as a risk reduction strategy", Massachusetts Institute of Technology Cambridge, University of MIT, 465 p. (1984).